УДК 681.7:534.883

ОПТИКО-ЦИФРОВОЙ МЕТОД ВОССТАНОВЛЕНИЯ ПОЛЯ ТОЧЕЧНОГО ИСТОЧНИКА В СЛОИСТО-НЕОДНОРОДНОМ ВОЛНОВОДЕ

Зуйкова Н. В., Свет В. Д.

Рассмотрен гибридный, оптико-цифровой метод восстановления поля точечного источника, расположенного в слоисто-неоднородном волноводе, основанный на разложении сигналов голограммы по нормальным волнам. Представлены экспериментальные результаты восстановления изображения источника для случая изоскоростного волновода с мягкими границами.

В работах [1, 2] были рассмотрены некоторые возможности когерентных оптических методов восстановления акустических голограмм, зарегистрированных в волноводах. В частности, предполагалось использовать обращение волнового фронта эквивалентной оптической голограммы в оптической модели акустического волновода. Для изоскоростного волновода с мягкими границами такой метод оказался достаточно просто реализуем средствами когерентной оптики [3]. Однако его распространение на слоисто-неоднородный волновод связано с серьезными технологическими трудностями оптического моделирования неоднородной среды.

Основываясь на идеях гибридной оптико-цифровой обработки информации, можно предложить другой метод восстановления поля источника в слоисто-неоднородном волноводе, сочетающий в себе алгоритмическую гибкость и точность цифровых средств с высокой скоростью и производи-

тельностью техники когерентной оптики.

Рассмотрим общий случай плоскопараллельного неоднородного волновода. При скорости звука c(z)≠const поле гармонического точечного источника в соответствии с [4] равно

$$P(R_0, s) = \frac{i}{4} \sum_{l=0}^{\infty} \Psi_l(s) \Psi_l(z_0) H_0^{(1)} (ka_l R_0) / \int_{-H}^{\bullet} \Psi_l^2(s) ds, \qquad (1)$$

где $k=2\pi/\lambda_a$, λ_a — длина волны звука, a_l — горизонтальное волновое число l-й моды, s — глубина точки приема, z_0 — глубина источника звука, R_0 — расстояние от вертикального сечения волновода, в котором расположен источник до аналогичного сечения в плоскости регистрации голограммы. При $R_0\gg\lambda_a$ (1) преобразовывается к виду

$$P(R_0, s) = \frac{i}{4\sqrt{kR_0}} \sum_{i=0}^{\infty} \Psi_i(s) \Psi_i(z_0) \exp(ika_i R_0) \cdot \frac{1}{\sqrt{a_i}} \Psi_i^2(s) ds.$$
 (2)

Восстановление поля в волноводе выражается через свертку принятого поля с передаточной функцией среды (2), которая считается априорно известной. Для гармонического сигнала и регистрации поля в вертикальном сечении волновода восстановленное поле равно

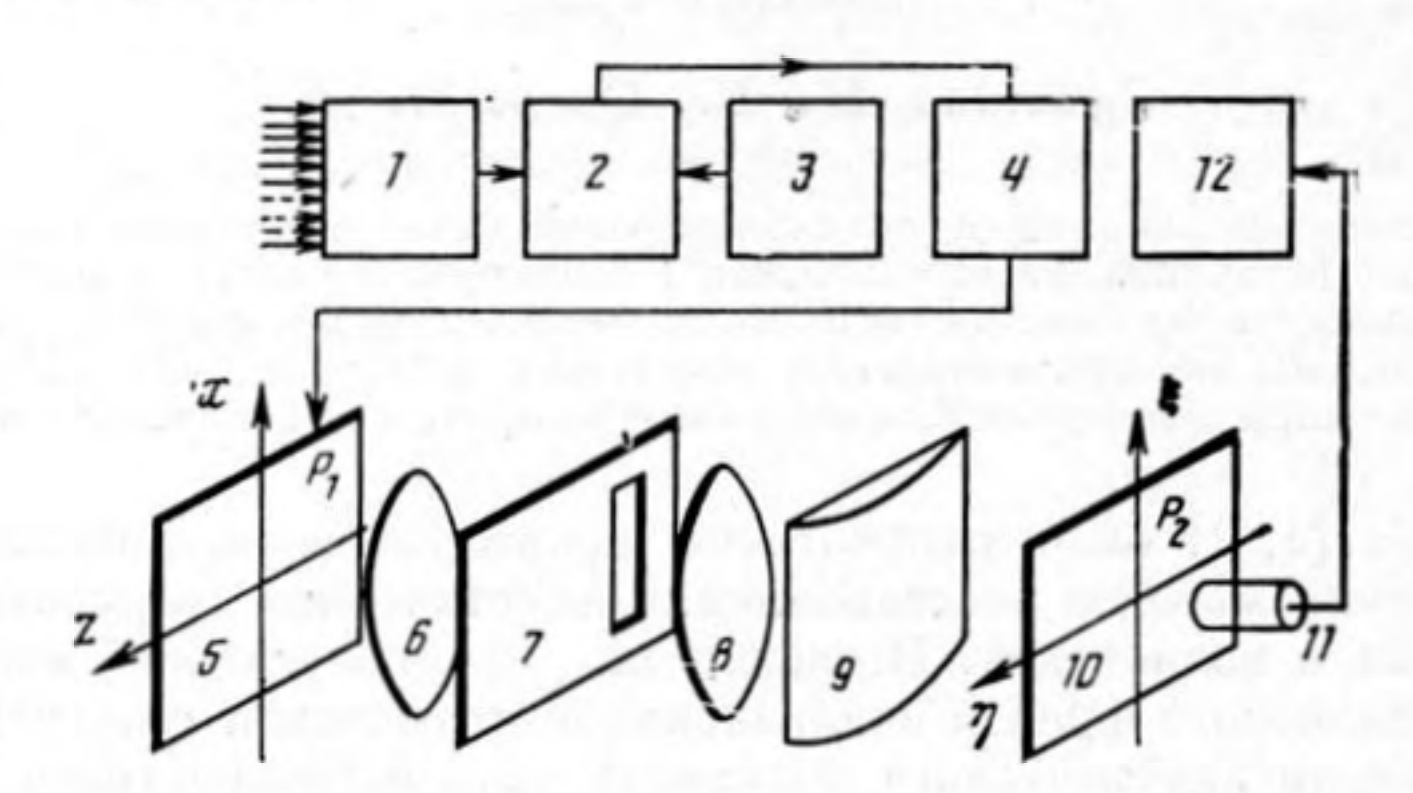
$$I(R,z) = \Big| \int_{-H}^{0} \sum_{l=0}^{\infty} \sum_{m=0}^{\infty} \frac{\Psi_{l}(s) \Psi_{l}(z_{0}) \Psi_{m}(s) \Psi_{m}(z) \sqrt{a_{m}}}{\sqrt{a_{l}} \int_{0}^{H} \Psi_{l}^{2}(z) dz \int_{0}^{H} \Psi_{m}^{2}(z) dz} \exp(ika_{l}R_{0} - ika_{m}R) ds \Big|^{2},$$
(3)

тде z — вертикальная координата волновода, R — расстояние от вертикаль-

ного сечения регистрации поля до точки наблюдения. В сечении $R=R_{\circ}$ в силу ортогональности функций $\Psi_{\iota}(z)$ (3) преобразуется к виду

$$I(R=R_0,z) = \left| \sum_{l=0}^{\infty} \frac{\Psi_l(z_0) \Psi_l(z)}{\int\limits_0^H \Psi_l^2(z) dz} \right|^2 = |\delta(z-z_0)|^2, \tag{4}$$

где δ – дельта-функция.



Фиг. 1. Схема восстановления поля точечного источника: 1 — измеритель A_l и ϕ_l , 2 — перемножитель, 3 — устройство ввода чисел $\sqrt{a_l}$, $\phi_l(z)$, 4 — формирователь голограммы T(x, z), 5 — пространственный модулятор света, 6, 8 — сферические линзы, 7 — пространственный фильтр-диафрагма, 9 — цилиндрическая линза, 10 — плоскость наблюдения и регистрации, 11 — сканирующий фотоумножитель, 12 — самописец

Восстановление поля по выражению (3) принципиально возможно осуществить целиком оптическими средствами, однако оценка подходящей оптической схемы показывает, что она будет обладать крайне низкой дифракционной эффективностью из-за большого числа оптических элементов. Поэтому рассмотрим другой возможный путь. Из выражения (3) видно, что основными трудоемкими операциями являются компенсация фазовых сдвигов в сумме и перебор полученных решений по координатам (R, z). Поэтому целесообразно поступить следующим образом: часть простых арифметических операций, а именно умножение поля в каждой точке на $\Psi_t(s)$, суммирование по точкам регистрации и умножение полученных значений на функции $\Psi_t(z)$ выполнить электронными (лучше цифровыми) средствами, а на оптику возложить компенсацию фазовых сдвигов. между модами, параллельный перебор возможных решений по параметрам (R, z) и отображение полученных результатов. На фиг. 1 показана возможная схема, реализующая такой метод обработки. Сначала измеряются амплитуды A_t и фазы ϕ_t нормальных волн путем простого суммирования зарегистрированных значений поля по точкам приема, умноженных на соответствующие веса $\Psi_{I}(z)$, так как

$$\int_{-H}^{0} P(R_0, z) \Psi_1(z) dz = \frac{1}{\sqrt{a_1}} A_1 \exp(i\varphi_1),$$
 (5)

где $\varphi_l = 2\pi a_l R_0/\lambda_a$,

$$A_{l} = \frac{i}{4} \Psi_{l}(z_{0}) / \int_{-H}^{0} \Psi_{l}^{2}(z) dz.$$
 (6)

Полученные L чисел далее умножаются на величины $\sqrt[4]{a_t}\Psi_t(z)$, в результате чего вычисляется функция T(x, z), которая и определяет пропуска-

ние голограммы, записываемой на модуляторе 5:

$$T(x,z) = \sum_{i=0}^{L} \delta(x-x_i) A_i \Psi_i(z) \exp(i\varphi_i). \tag{7}$$

Голограмма записывается в точках $x_l = ba_l$, где b = const. Выбор этой константы определяет исходный размер голограммы и масштабы выходного

изображения при заданных фокусных расстояниях линз. Сферическая линза 6 осуществляет двумерное преобразование Фурье от функции T(x, z), а линза 8 увеличивает изображение отфильтрованного диафрагмой 7 пространственного спектра, перенося в плоскость P_2 . И наконец, цилиндрическая линза 9 осуществляет обратное преобразование Фурье по оси z, строя в плоскости P_2 уве- . изображение входной личенное плоскости Р1. Таким образом, вся оптическая практически схема преобразование осуществляет Фурье от функции T(x, z) по координате х:

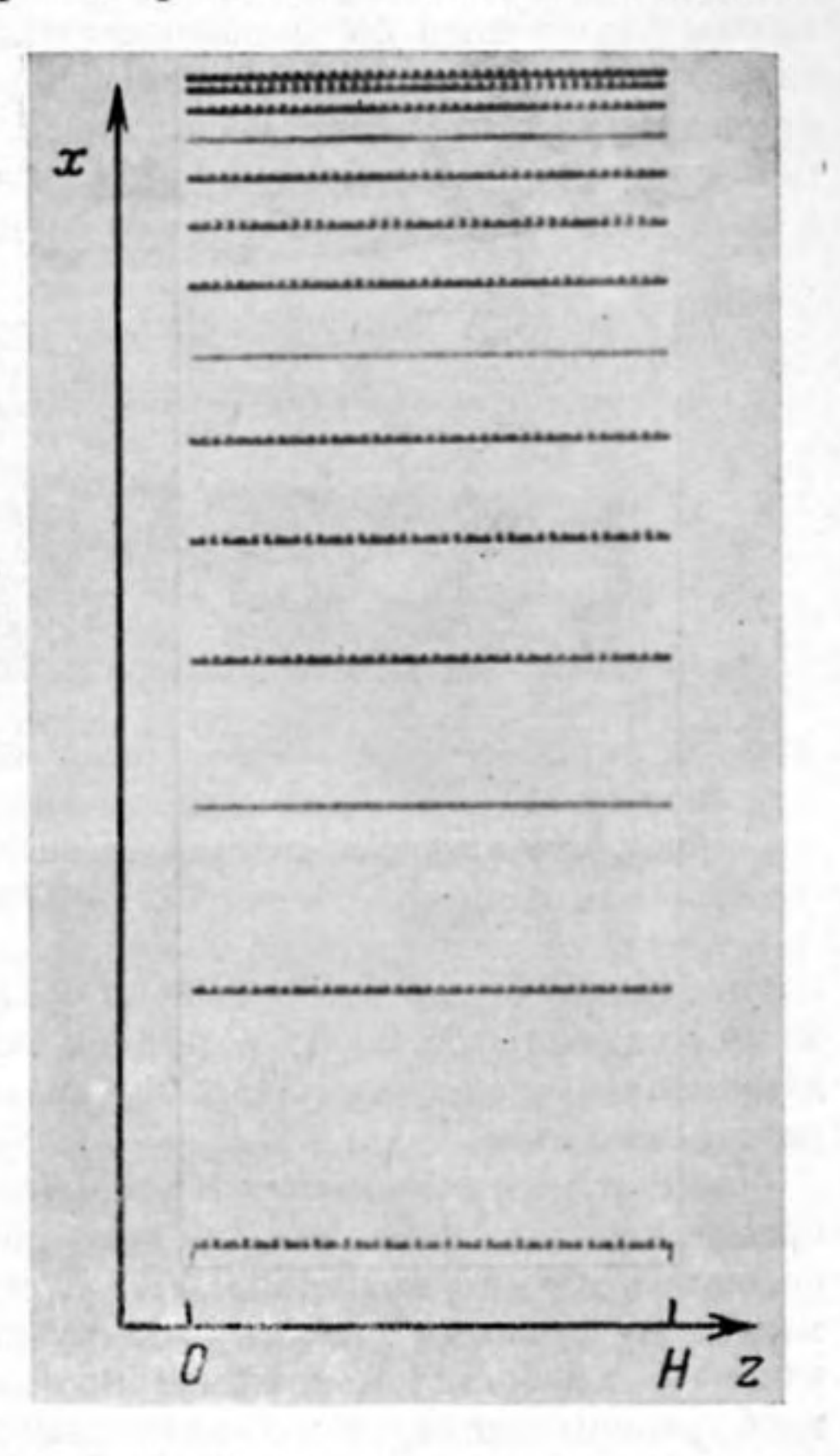
$$F_{\xi}[T(x,z)] =$$

$$= \int_{-\infty}^{\infty} T(x,z) \exp(i2\pi x \xi/\lambda_0 f) dx =$$

$$= \sum_{t=0}^{\infty} A_t \Psi_t(z) \times$$

$$\times \exp[i(\varphi_t - 2\pi x_t \xi/\lambda_0 f)], \quad (8)$$

где λ_0 — длина волны восстанавливающего света, f — фокусное приведенное расстояние линз 6, 8, 9. В точке $\xi_0 = \varphi_l \lambda_0 f / 2\pi x_l = R_0 \lambda_0 f / \lambda_a \cdot b$

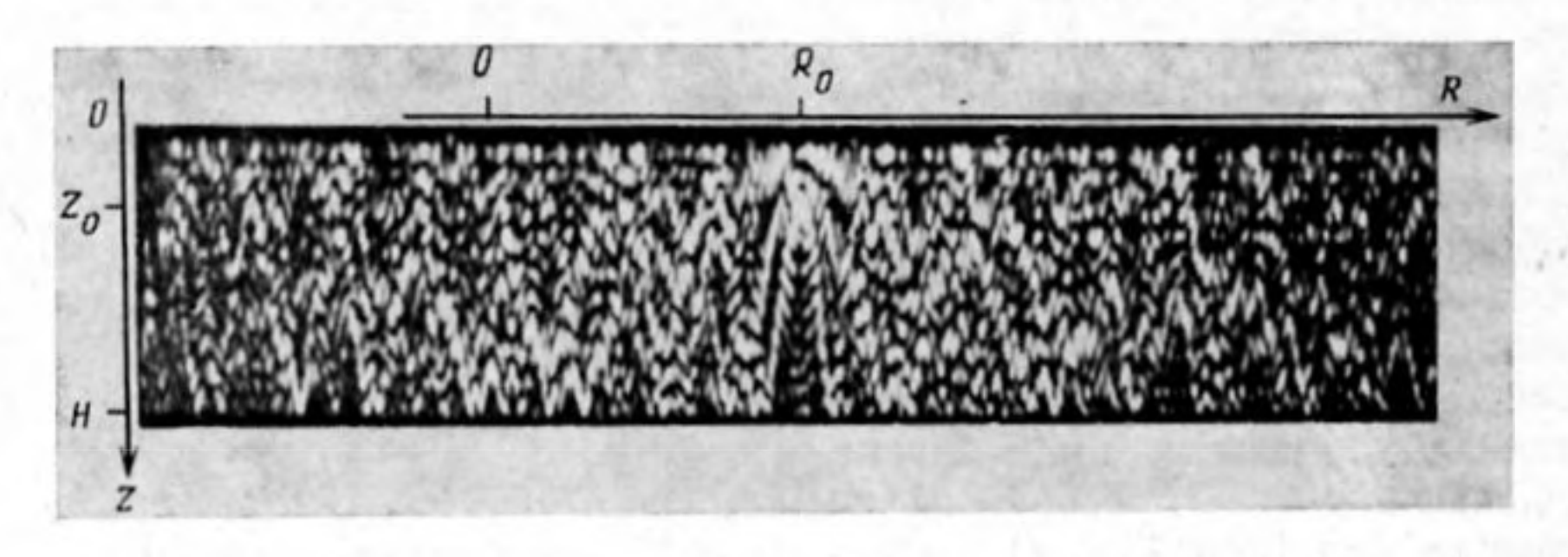


Фиг. 2. Голограмма многомодового сигнала

наблюдается восстановленное изображение источника $I_{\xi_0} = \delta(z-z_0)$. Поскольку число учитываемых нормальных волн конечно, то функция, описывающая изображение источника, имеет вид функции типа sinc (αz). Необходимые для реализации алгоритма (3) собственные функции волновода $\Psi_i(z)$ и горизонтальные волновые числа a_i предварительно рассчитываются или измеряются для конкретной зависимости c(z) и закладываются в оперативную память 3 (фиг. 1).

Рассмотренный метод восстановления точечного источника был проверен на примере изоскоростного волновода. В таком волноводе c(z) = = const, а при обеих мягких границах $\Psi_l(z) = \sin(l\pi z/H)$, $a_l = \sqrt{1-\lambda_a^2 l^2/4H^2}$. Голограмма с функцией пропускания T(x,z) рассчитывалась на ЭВМ при следующих исходных параметрах: H = 4.5; $\lambda_a = 0.6$; $z_0 = H/4$; $R_0 = 24$ и строилась с помощью графостроителя, причем значения величин Re [$\Psi_l(z_0) \cdot \Psi_l(z) \cdot \exp(i2\pi a_l R_0/\lambda_a)$] и Im [$\Psi_l(z_0) \Psi_l(z) \cdot \exp(i2\pi a_l R_0/\lambda_a)$] кодировались высотой столбца. Такая голограмма имела только два уровня прозрачности (фиг. 2) [3]. Ровные полоски, расположенные на местах 4, 8 и 12 нормальных волн, представляют собой постоянную составляющую, на величину которой увеличены все значения функции T(x,z), поскольку $\sin l\pi z_0/H = 0$ при l = 4, 8, 12 и $Z_0 = H/4$. Так как столбцы имеют конечный размер по оси x и не являются дельта-функциями, то восстановленное оптическое изображение поля в плоскости P_2 умножается на весовую функтическое изображение поля в плоскости P_2 умножается на весовую функтическое изображение поля в плоскости P_2 умножается на весовую функтическое изображение поля в плоскости P_2 умножается на весовую функтическое изображение поля в плоскости P_2 умножается на весовую функтическое изображение поля в плоскости P_2 умножается на весовую функтическое изображение поля в плоскости P_2 умножается на весовую функтическое изображение поля в плоскости P_2 умножается на весовую функтическое изображение поля в плоскости P_2 умножается на весовую функтическое изображение поля в плоскости P_2 умножается на весовую функтическое изображение поля в плоскости P_2 умножается на весовую функтическое изображение поля в плоскости P_2 умножается на весовую функтическое изображение поля P_2 0 умножается на весовую P_2 0 умножается н

цию sinc ($\pi \xi \bar{\Delta}/\lambda_0 f$), где $\bar{\Delta}$ — средняя высота столбца на голограмме. По этой причине контраст восстановленного изображения поля плавно спадает с увеличением расстояния R в обе стороны (фото фиг. 3). Начало координат в выходной плоскости в точке $\xi=0$ соответствует сечению регистрации поля при R=0. В точке с координатами $R=R_0$, $\xi_0=\lambda_0 R_0 f/\lambda_a b$ формируется восстановленное изображение точечного источника. На приведенной фотографии контраст изображения искусственно сделан везде одинаковым для лучшей воспроизводимости всех деталей поля. Однако и в этом случае восстановленный источник хорошо виден как точка, вокруг которой происходит «стягивание» всех лучей. На истинном оптическом изображении интенсивность света в этой точке максимальна, поскольку только в ней происходит синфазное сложение всех учитываемых нормальных



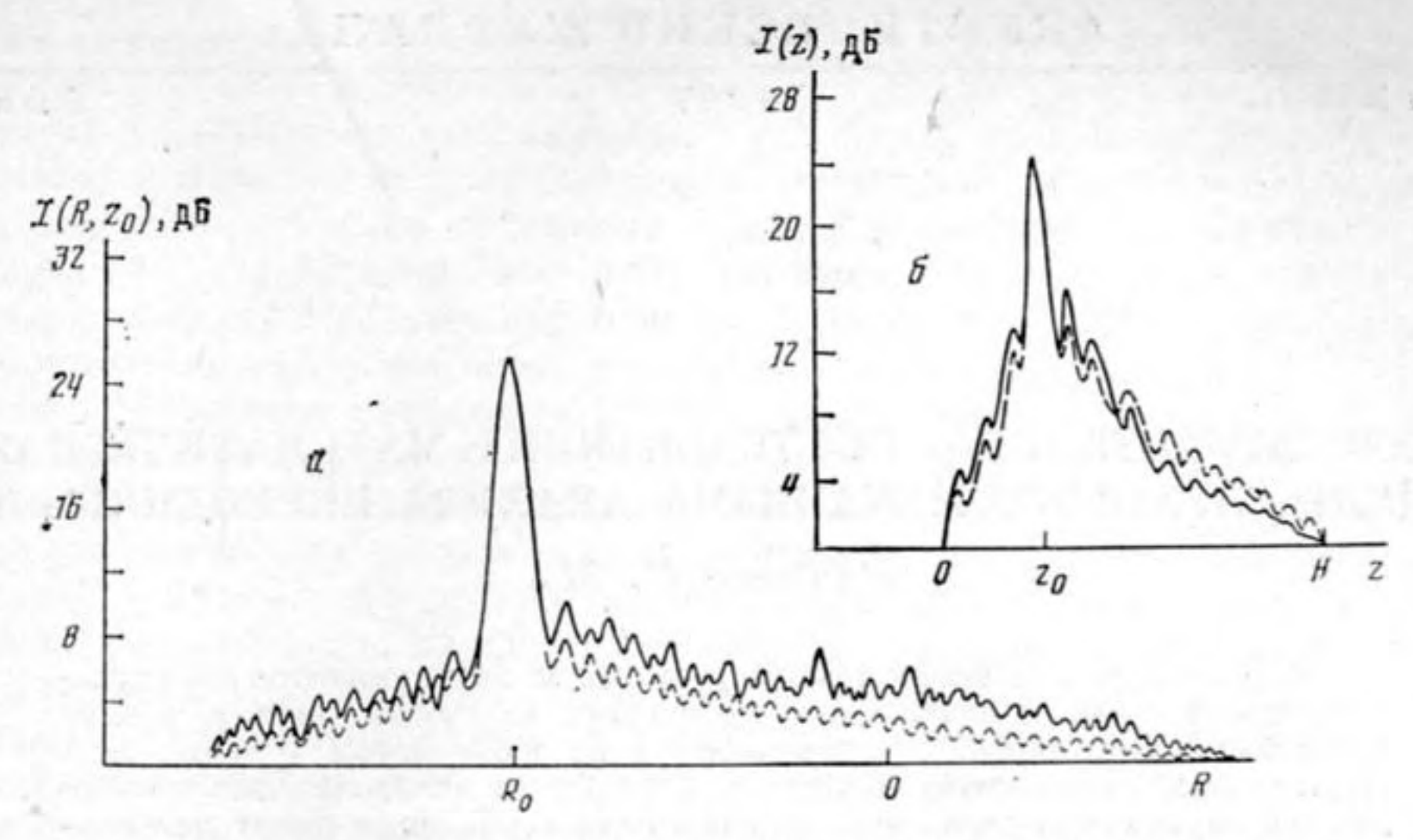
Фиг. 3. Фотография восстановленного поля в волноводе. Контраст изображения выровнен

волн. Масштабы изображения по осям R и z несколько искажены относительно заданных — изображение сжато по оси R и растянуто по оси z. Эти искажения легко устранимы путем соответствующего подбора фокусных расстояний линз.

На фиг. 4 показан результат фотометрирования восстановленного изображения для L=14. Огибающая распределений I(R) пропорциональна весовой функции sinc $(\pi \xi \bar{\Delta}/\lambda_0 f)$. При когерентном сложении 14 нормальных воли функция I(R, z) имеет узкий максимум с координатами источника и наибольшей интенсивностью. Особенностью восстановленного изображения является его «непрерывность» по координате R, так как аппаратное разрешение оптической системы может быть сделано по этой координате очень высоким - оно определяется размерами исходной голограммы по оси х. Разрешение по координате z также может быть большим в зависимости от разрешающей способности голограммы. В данном примере число элементов разрешения по оси г равно 20. Полученные распределения I(R, z) были сопоставлены с результатами расчета поля на ∂BM для тех же условий (пунктирные кривые на фиг. 4, а, б). Видно, что они совпадают с хорошей точностью, за исключением области дальних боковых лепестков, что, по-видимому, связано с неравномерностью освещающего светового потока и невысокой точностью изготовления голограммы.

Рассмотренный метод восстановления полей может быть использован и для обработки широкополосных сигналов. Для этого на голограмме (фиг. 2) в свободных промежутках нужно расположить моды других частот. Для того чтобы изображения с разночастотных голограмм складывались в одной плоскости P_2 (фиг. 1), положение полосок для каждой частоты необходимо вычислять со своей константой b, выбираемой из условия $b\lambda_a$ =const. Метод также пригоден и для тех случаев, когда поле источника фиксируется не во всем сечении волновода, а только на части этого сечения, а приемная апертура голограммы в общем случае может быть двумерной.

Одним из преимуществ оптико-цифрового метода является его высокая производительность и скорость обработки за счет параллельных вычислений над двумерными массивами чисел T(x, z). Так, цифровой расчет поля тонального источника при решении обратной задачи, показанного на фиг. 3,



Фиг. 4. Распределение интенсивности восстановленного изображения по координатам (R, z), L=14: a — распределение по R, δ — распределение по z. Пунктиром нанесены результаты расчета

на ЭВМ класса СМ-4 занимает около 20 мин без учета времени вывода изображения. Использование оптических средств позволяет сократить это время примерно в 25 раз и одновременно решает задачу отображения восстановленного поля. Погрешности вычисления поля при использовании универсальных ЭВМ в общем случае могут быть значительно меньше, чем в оптико-цифровом методе. Однако результаты сравнения, приведенные на фиг. 4, a, б, показывают, что они совпадают с точностью до единиц процентов, что является вполне приемлемым для многих практических задач.

Рассмотренный метод восстановления основан на возможности представления поля акустического источника в плоскослоистом волноводе в виде совокупности нормальных волн, что и определяет границы его возможной применимости. Массив одновременно обрабатываемой информации с использованием современных пространственных модуляторов света может составлять 10^6-10^7 элементов, поэтому эффективность оптико-цифрового метода обработки становится особенно заметной при восстановлении полей широкополосных источников и учете большого числа нормальных волн.

Авторы благодарят О. Н. Поспелову за помощь при обработке экспериментальных материалов.

ЛИТЕРАТУРА

1. Зуйкова Н. В., Свет В. Д. Исследование возможности создания оптического согласованного фильтра для обработки акустических сигналов // II Всесоюз. семинар по физике акустогидродинамических явлений и оптоакустике. М.: Наука. 1980.

 Зуйкова Н. В., Свет В. Д. Об одном оптическом методе восстановления акустической голограммы точечного источника, расположенного в неоднородном волноводе // Акуст. журн. 1981. Т. 27. № 4. С. 513-519.

3. Байрамкулиев В. А., Зуйкова Н. В., Свет В. Д. Оптическое моделирование восстановления акустических голограмм точечного источника, расположенного в слое с идеально отражающими границами // Акуст. журн. 1984. Т. 30. № 6. С. 735—740.

4. Бреховских Л. М. Волны в слоистых средах. М.: Изд-во АН СССР. 1957.

Акустический институт им. Н. Н. Андреева Академии наук СССР Поступила в редакцию 14.XI.1985 после исправления 23.VII.1986